



次世代治療・診断実現のための創薬基盤技術開発事業



体液中マイクロRNA測定技術基盤開発(代表 落谷孝広)

分担研究開発：認知症の血液miRNAマーカー開発

研究開発分担者：新飯田 俊平

研究協力：NCGGメディカルゲノムセンター
NCGG病院・もの忘れセンター
東レ・先端融合研究所



TORAY



認知症の社会特性

国内517万人（'16）・先進国合計4,680万人（'15）

65歳以上の5人に1人

根本的な治療薬はない

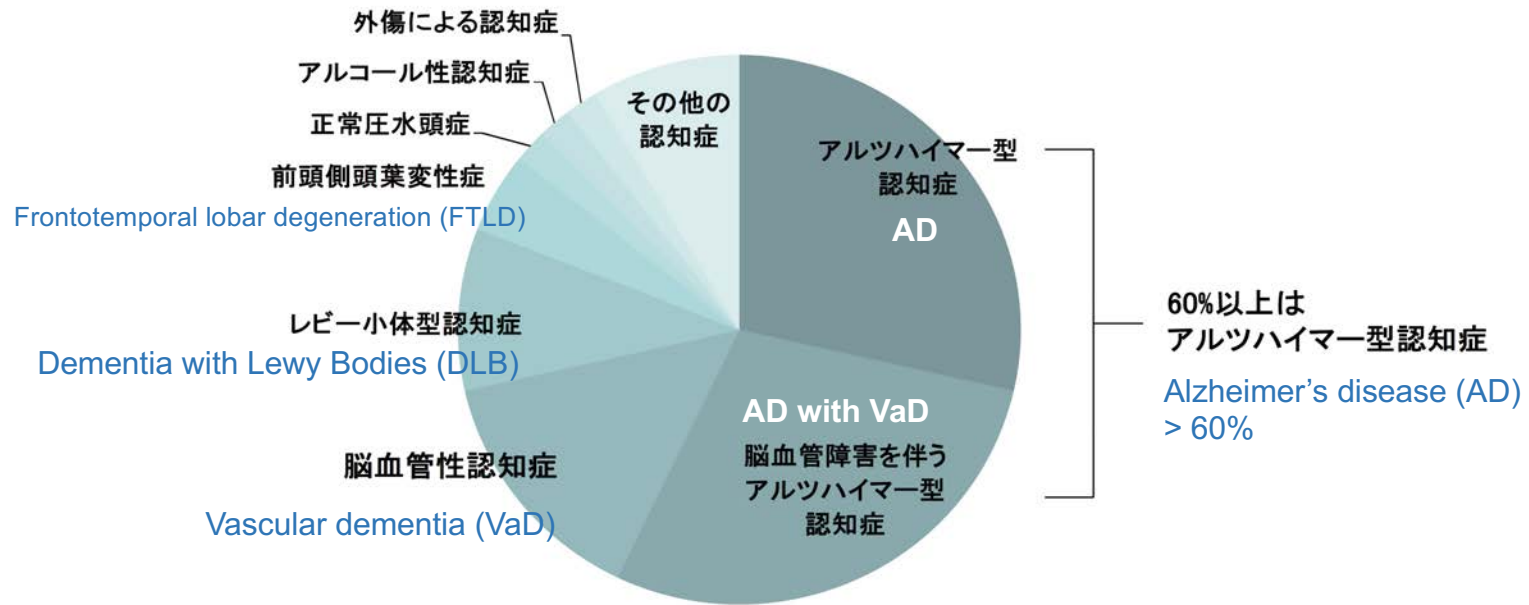
病型は複雑・診断が難しい

家族への負担が極めて重く、経済リスクとなる

医療費1.9兆円、介護費6.4兆円、インフォーマルケア6.2兆円

認知症による行方不明 5年連続増加

認知症の割合

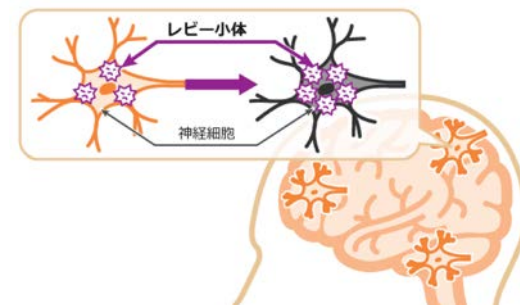
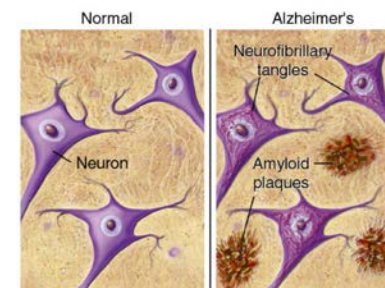


東京都健康長寿医療研究センター, 2014

https://www.tmg Hig.jp/research/info/cms_upload/research_attached_awata.pdf

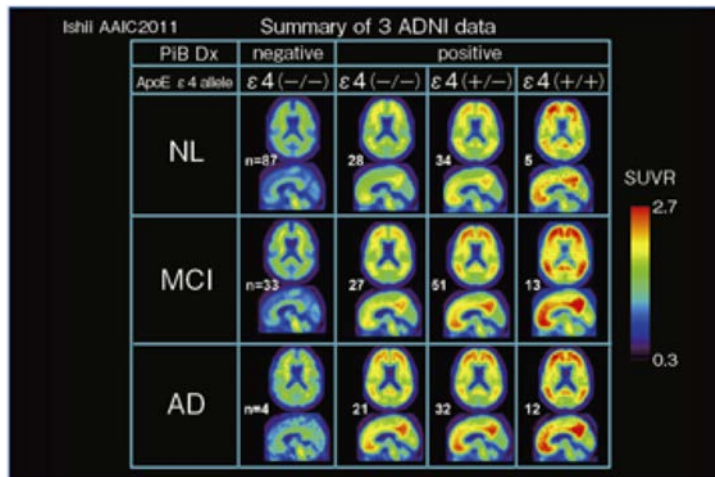
三大認知症の特徴

	アルツハイマー型認知症	レビー小体型認知症	血管性認知症
脳の変化	老人斑や神経原線維変化が、海馬を中心に脳の広範囲に出現する。脳の神経細胞が死滅していく	レビー小体という特殊なものができることで、神経細胞が死滅してしまう	脳梗塞、脳出血などが原因で、脳の血液循環が悪くなり、脳の一部が壊死してしまう
画像でわかる脳の変化	海馬を中心に脳の萎縮がみられる	はっきりした脳の萎縮はみられないことが多い	脳が壊死したところの確認できる
男女比	女性に多い	男性がやや多い	男性に多い
初期の症状	もの忘れ	幻視、妄想、うつ状態、パーキンソン症状	もの忘れ
特徴的な症状	認知機能障害 (もの忘れ等) もの盗られ妄想 徘徊 とりつくろい など	認知機能障害 (注意力・視覚等) 認知の変動 幻視・妄想 うつ状態 パーキンソン症状 睡眠時の異常言動 自律神経症状 など	認知機能障害 (まだら認知症) 手足のしびれ・麻痺 感情のコントロールがうまくいかない など
経過	記憶障害からはじまり広範囲な障害へ徐々に進行する	調子の良い時と悪い時をくりかえしながら進行する。ときに急速に進行することもある	原因となる疾患によって異なるが、比較的急に発症し、段階的に進行していくことが多い

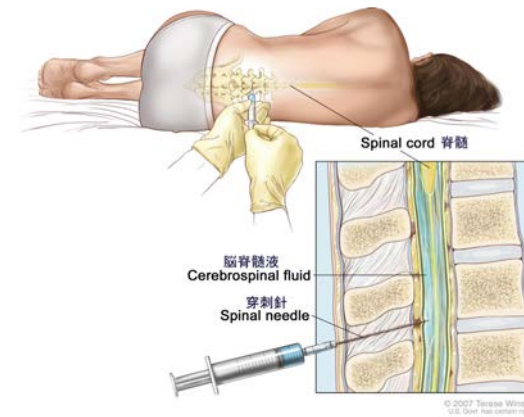


AD biomarkers

Amyloid PET imaging



Lumbar Puncture CSF A β , p-tau

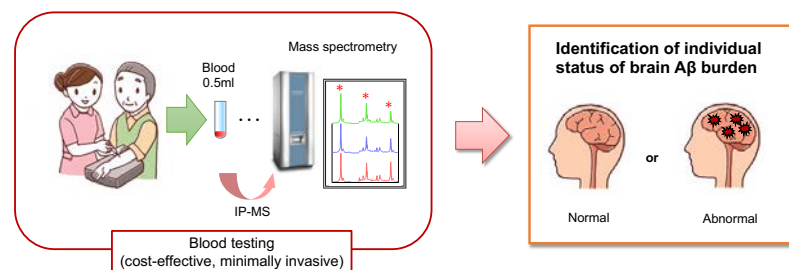


AD biomarkers

Plasma amyloid- β biomarkers

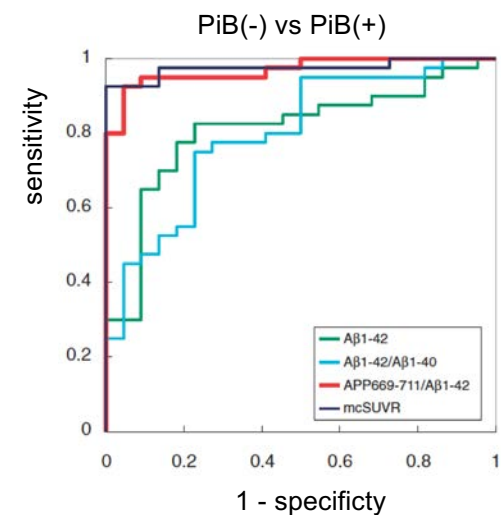
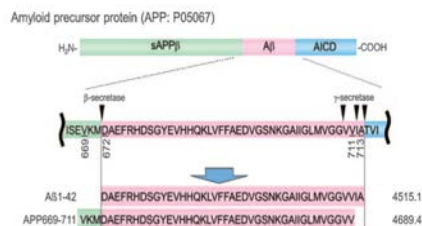
Novel plasma biomarker surrogating cerebral amyloid deposition

Kaneko N, et al, 2014 in *Proc J Acad. Ser B* vol.90



High performance plasma amyloid- β biomarkers for Alzheimer's disease

Nakamura A, et al, 2018 in *nature* vol.554,



DLB biomarkers

ドーパミントランスporter

MIBG心筋シンチグラフィ

睡眠ポリグラフ

CT/MRI

SPECT/PET

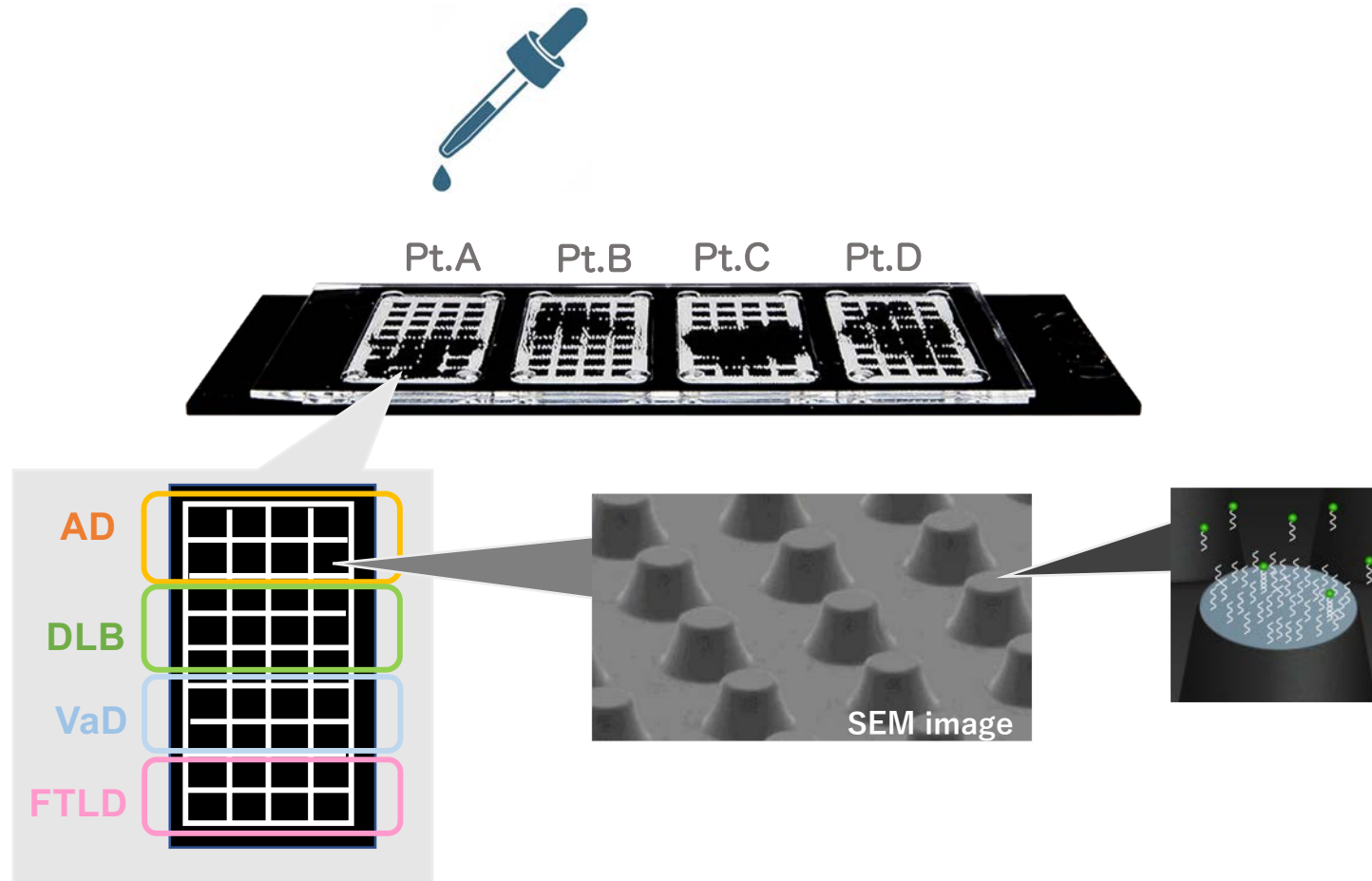
FDG-PET

一滴の血清で主要な認知症の病型を鑑別する技術

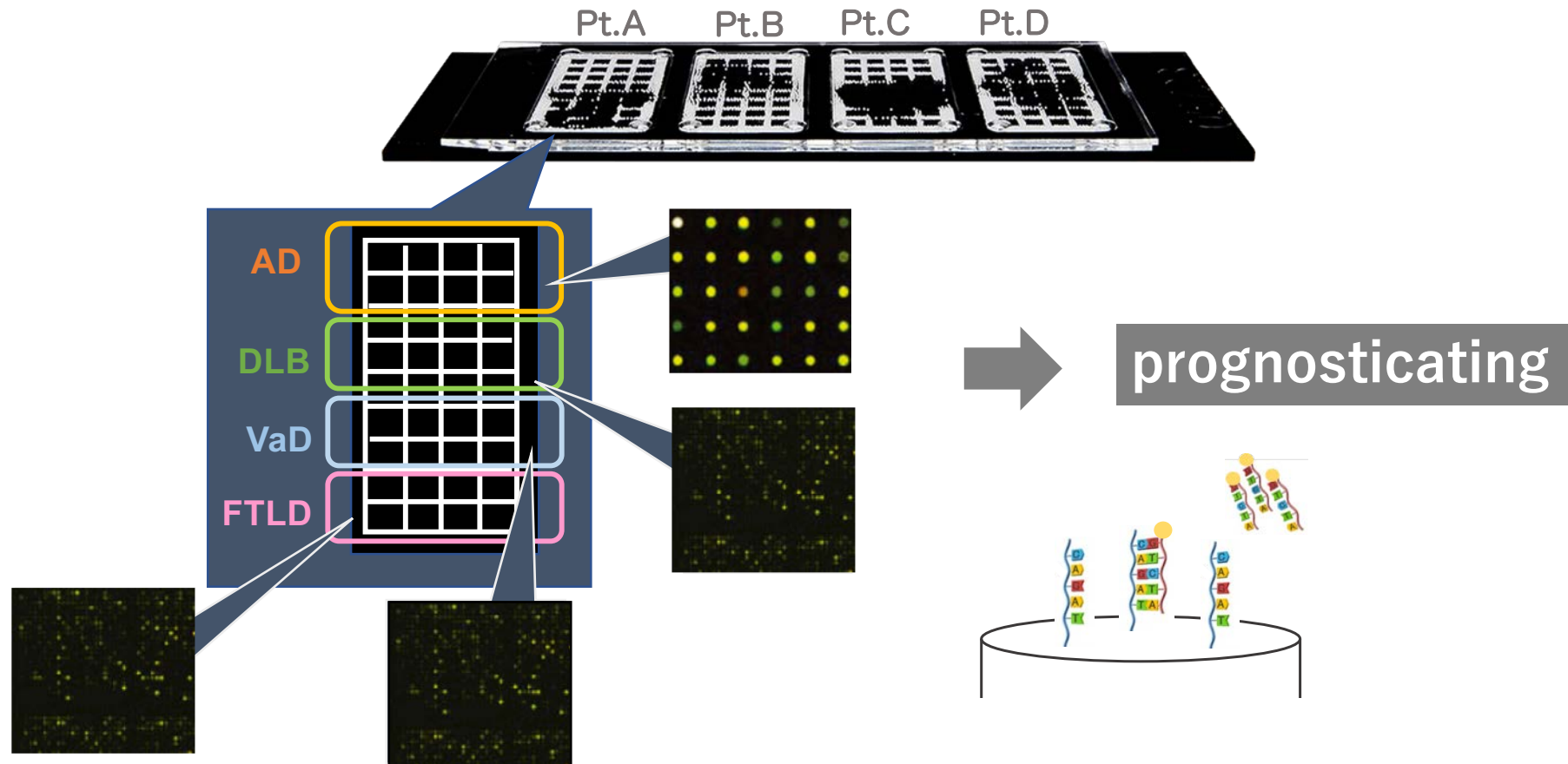


Image提供: **TORAY**

一滴の血清で主要な認知症の病型を鑑別する技術



一滴の血清で主要な認知症の病型を鑑別する技術

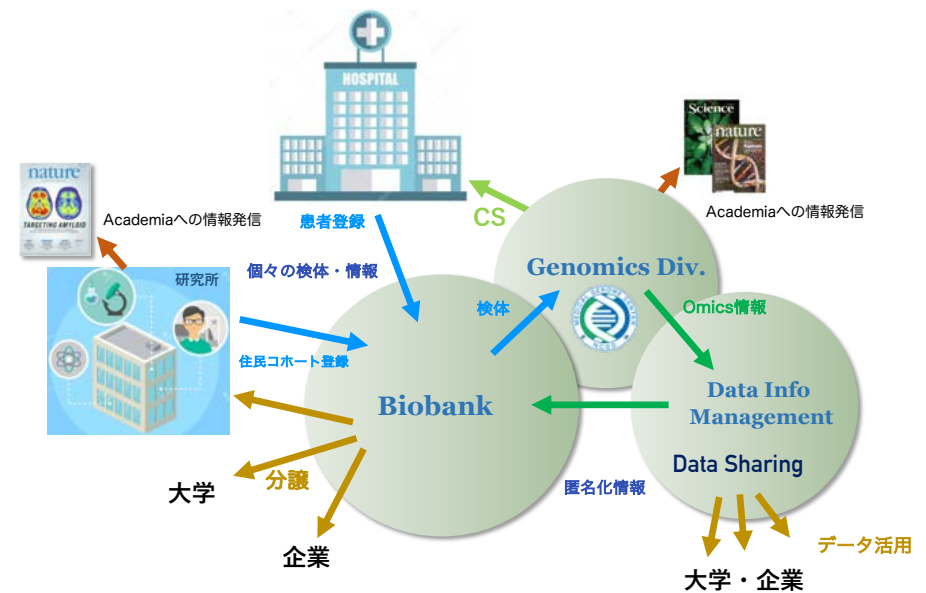


Exploring circulating miRNA biomarker for dementia

Exploring circulating miRNA biomarker for dementia

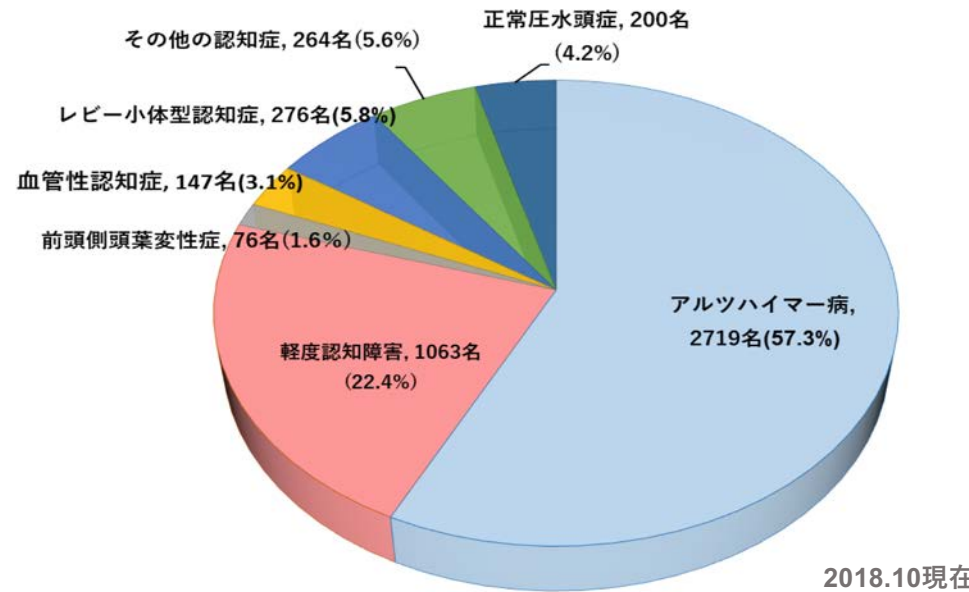


Biobank



Exploring circulating miRNA biomarker for dementia

バイオバンクに保存されている認知症サンプルの内訳



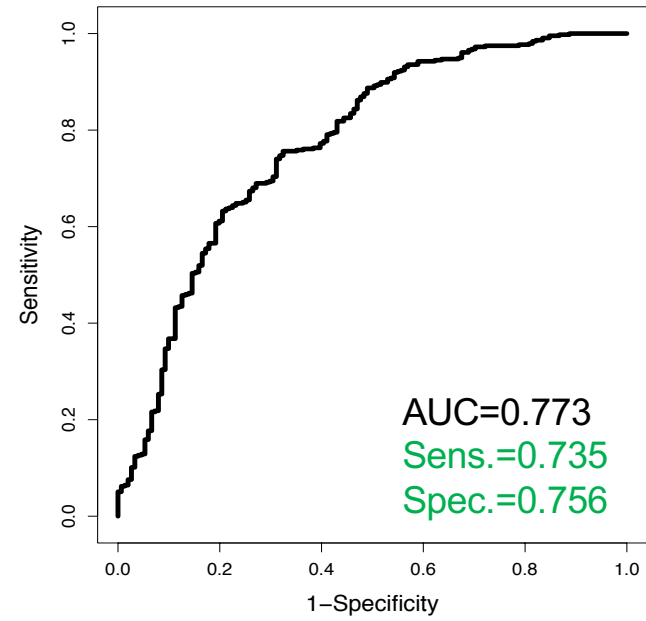
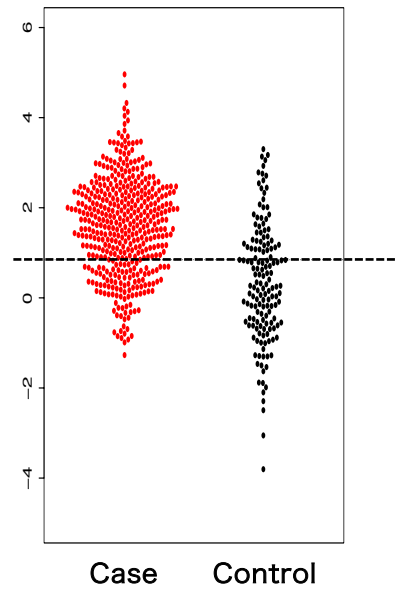
Exploring circulating miRNA biomarker for dementia

Biomarker検索に使われたサンプルの内訳

	case	CN	total
Sample (male, female)	2,177 (1,369, 808)	756 (374, 382)	2,933 (1743, 1190)
Ave. age	78.6	72.7	75.1
MMSE	18.6±5.3	25.4±5.5	-

CN: cognitive normal

Dementia vs Cognitive Normal



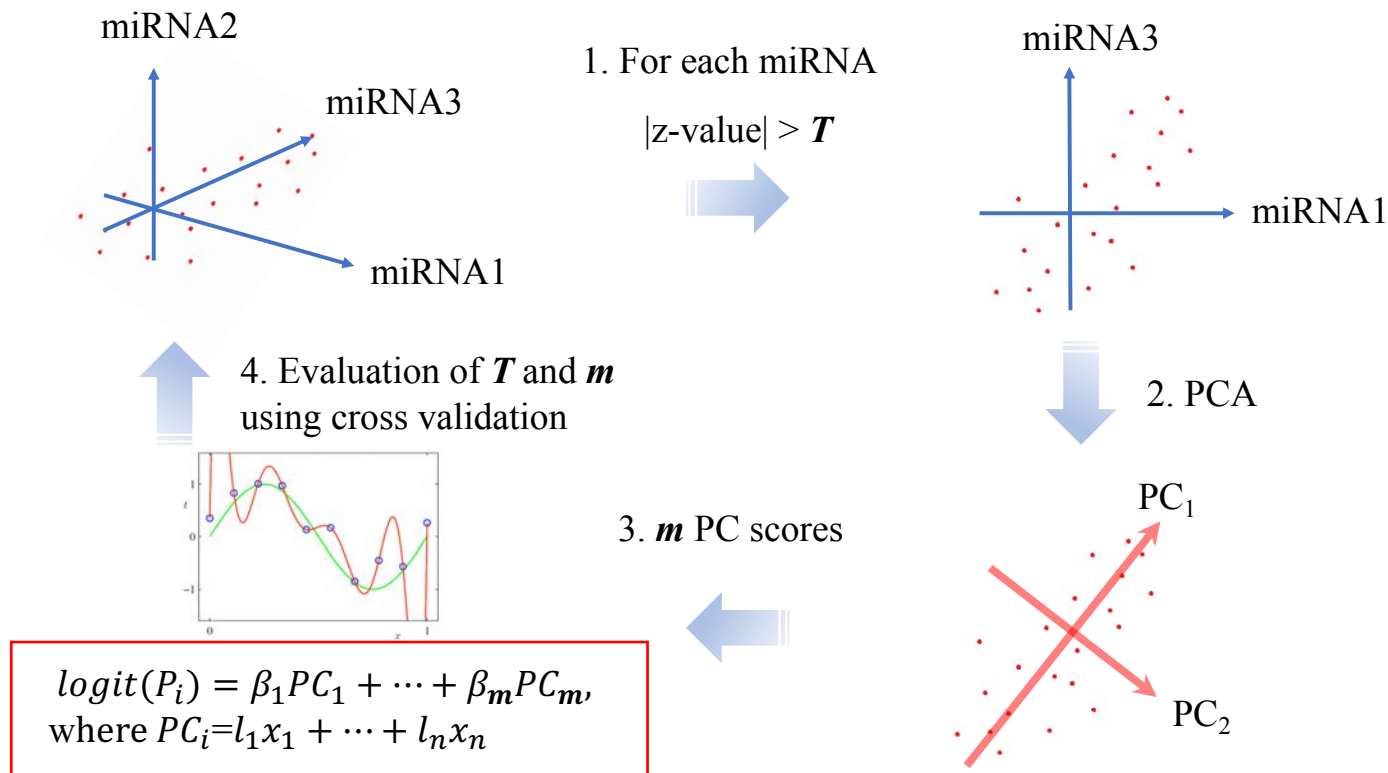
Diseases and No. of samples

	Disease	#Sample
Case	AD (Alzheimer's disease)	1,021
	VaD (Vascular dementia)	91
	DLB (Dementia with Lewy Bodies)	169
Control	CN (Cognitive normal)	288
	Total	1,569

- Age (>60), Sex, and *APOE* genotype
- +MMSE>23 for Cognitive Normal (CN)

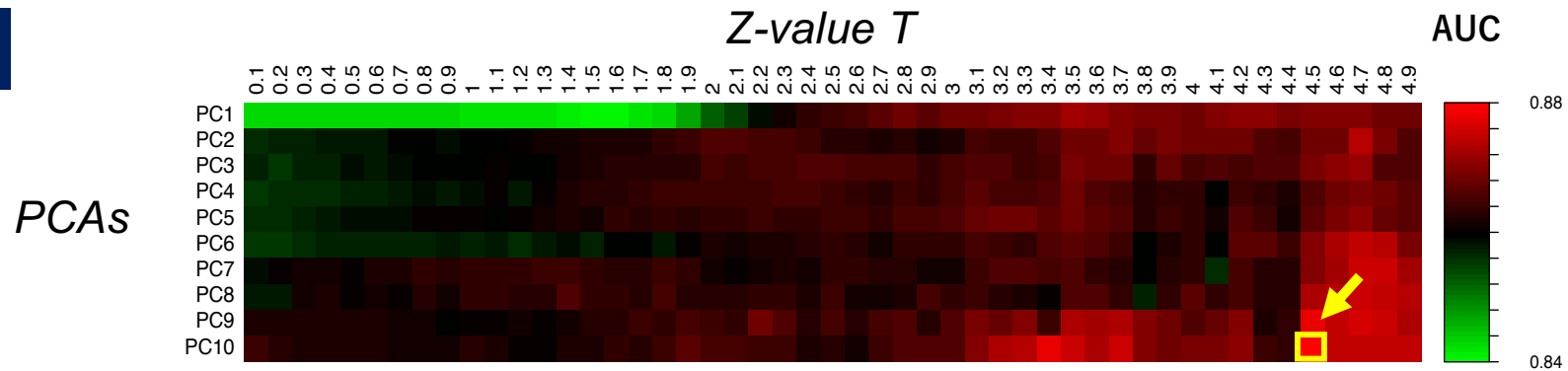
Supervised PCA method

Selection of optimal T and No. of PC scores m

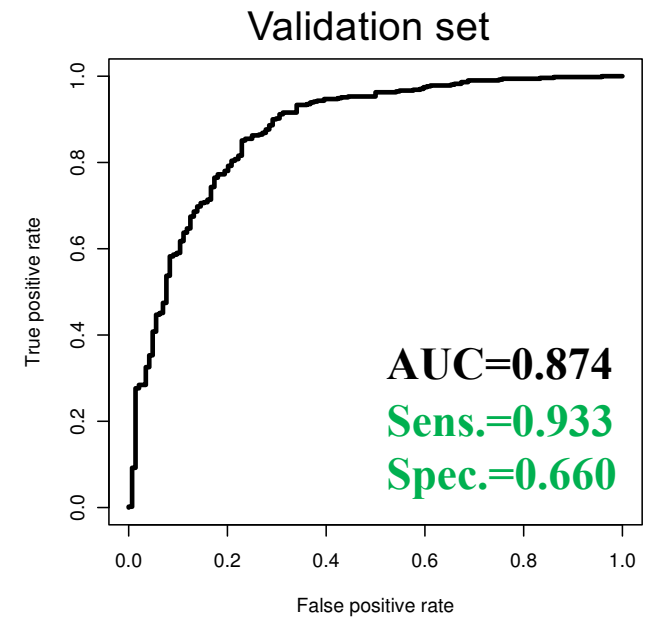


Optimal T and No. of PC scores search using a discovery set

AD

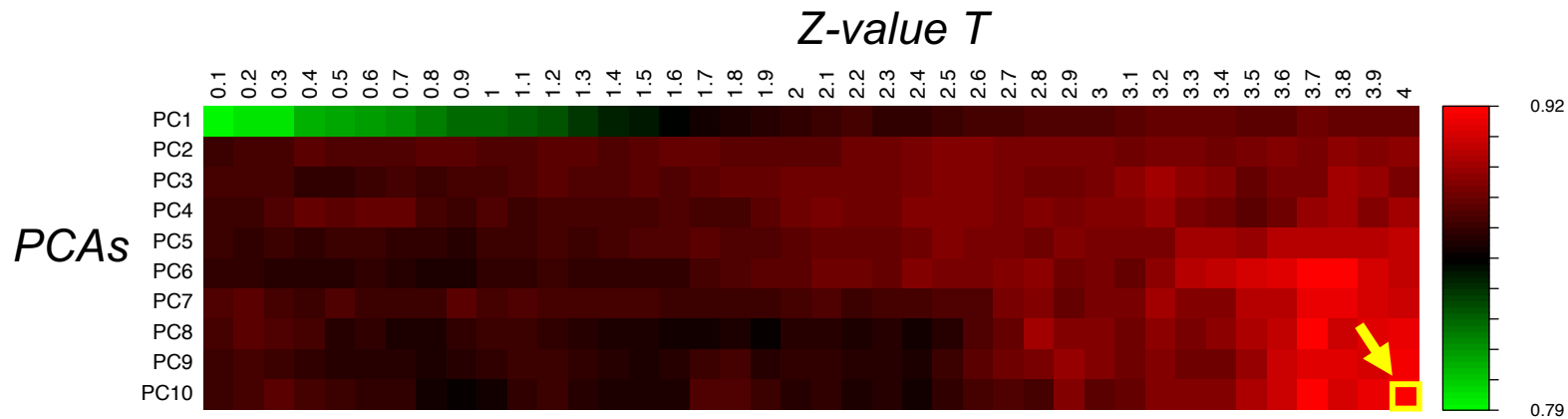


Discovery cohort				
Disease	T	m	#miRNAs	AUC (CV)
AD	4.5	10PCs	78	0.877

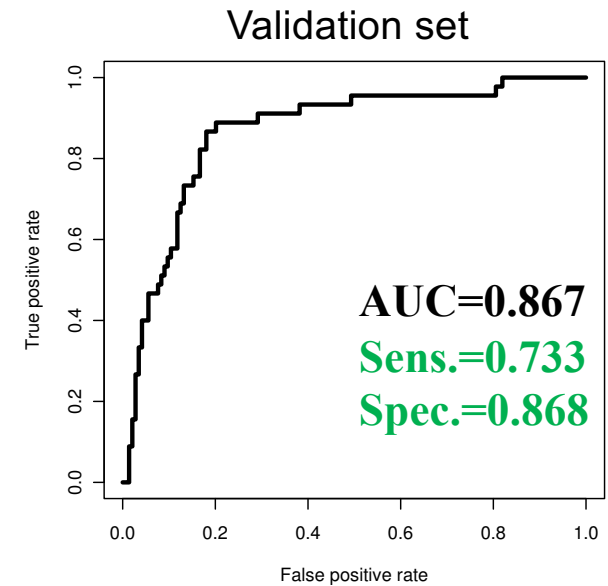


Optimal T and No. of PC scores search using a discovery set

VaD

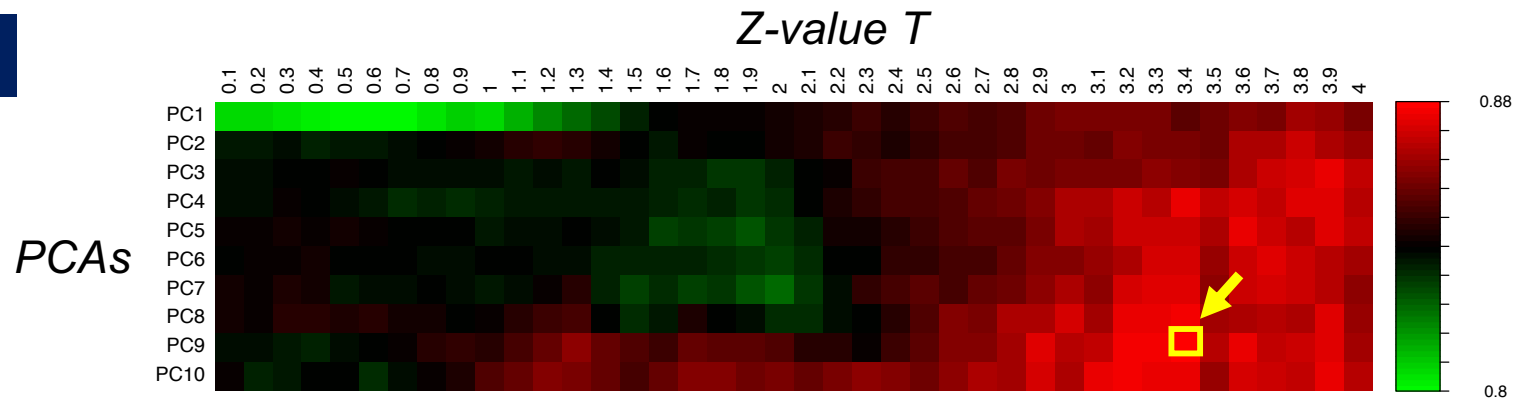


Discovery cohort				
Disease	T	m	#miRNAs	AUC (CV)
VaD	4	10 PCs	86	0.923

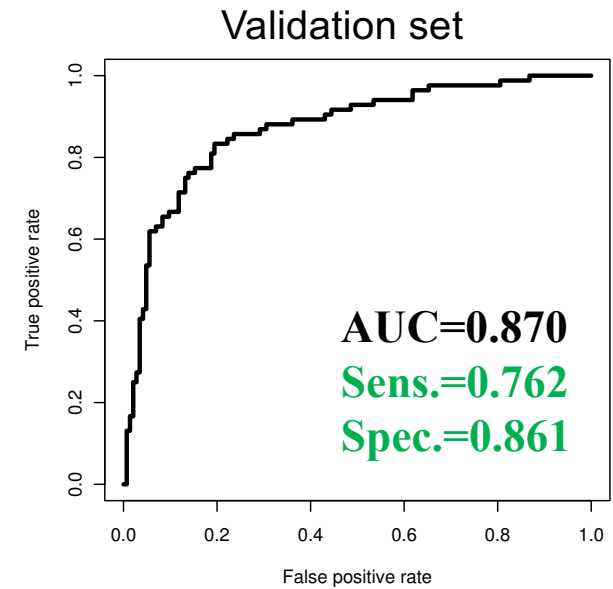


Optimal T and No. of PC scores search using a discovery set

DLB



Discovery cohort				
Disease	T	m	#miRNAs	AUC (CV)
DLB	3.4	9PCs	110	0.885



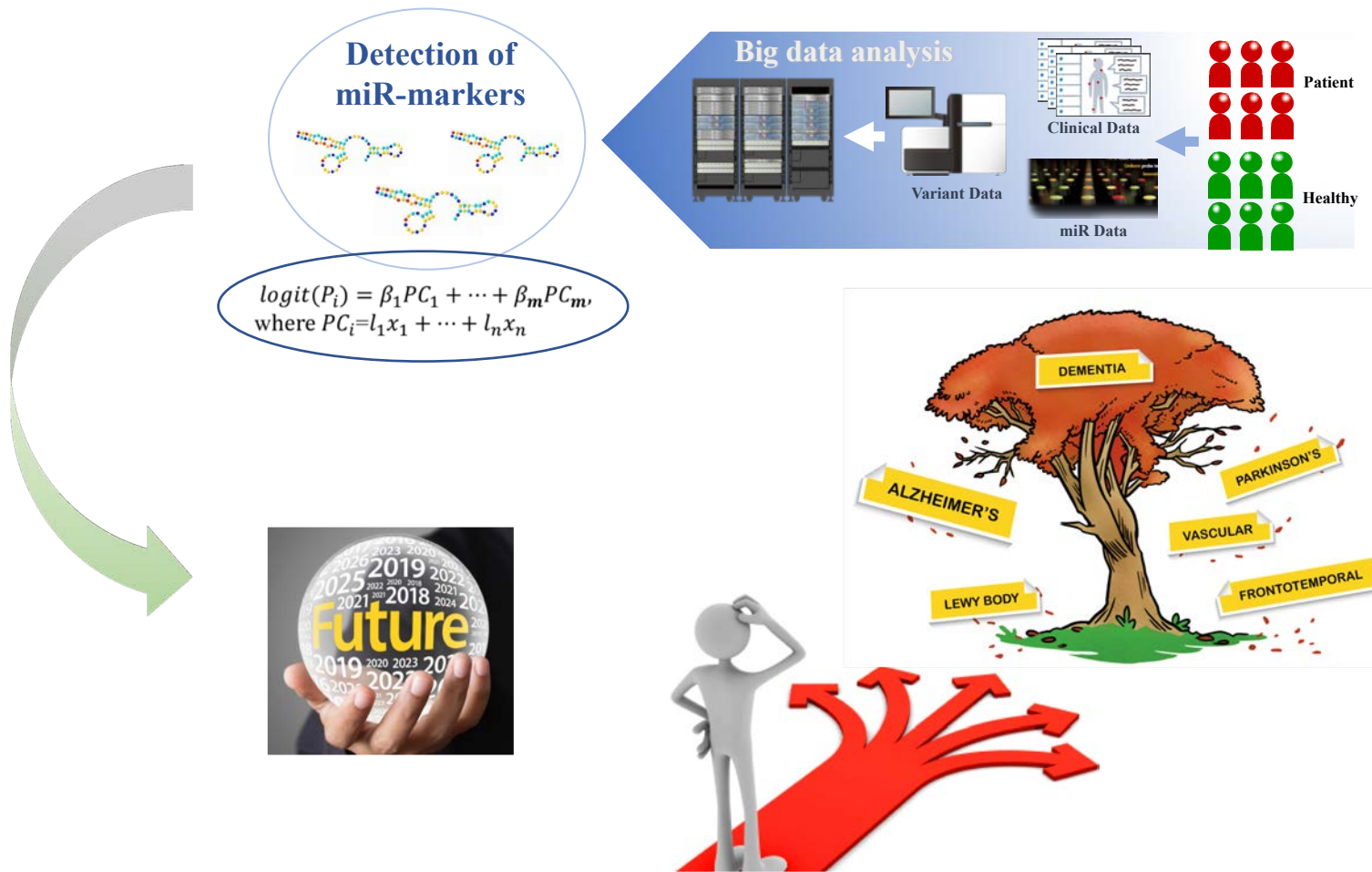
Conclusion

Discovery set			Validation set	
Disease	#miRNAs	AUC (CV)	AUC	
AD	78	0.877	0.874	
VaD	86	0.923	0.867	
DLB	110	0.885	0.870	

	*PI cutoff	Accuracy	Sensitivity	Specificity
AD	0.281	0.873	0.933	0.660
VaD	-0.761	0.836	0.733	0.868
DLB	0.0392	0.825	0.762	0.861

Possibility of predictive biomarker

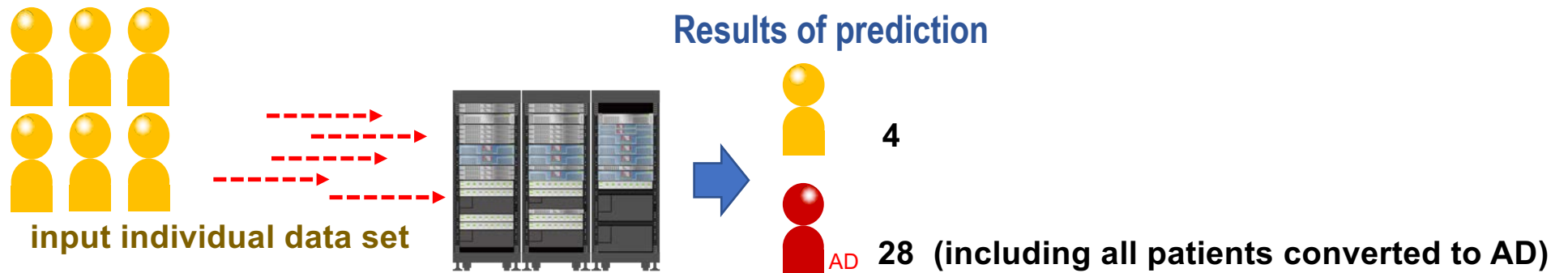
Possibility of predictive biomarker



Possibility of predictive biomarker

Diagnosed with MCI at first visit (n=32)

Converted to AD within 1 y (n=10/32)



Acknowledgements



TORAY



**Medical
Genome
Center**



**NCGG病院
もの忘れセンター**